

НАПРЯЖЕННО-ДЕФОРМИРОВАННОЕ СОСТОЯНИЕ ДВУХСТОРОННЕГО АДГЕЗИОННОГО СОЕДИНЕНИЯ ДЕТАЛЕЙ ПОСТОЯННОЙ ЖЕСТКОСТИ

Двухсторонние клеевые соединения применяются в целях повышения несущей способности и уменьшения длины соединения, особенно при необходимости склеивания толстых деталей (более 3 мм). Если конструкция симметрична относительно срединной поверхности (рис. 1), то возможно рассмотрение половины соединения, как это сделано в работе [1]. Достоверность такого решения определяется симметрией геометрии и нагрузок, что на практике встречается довольно редко. Если же речь идет о конструкциях из слоистых композитов, то такое решение можно применять только в случае симметрии еще и в упругих свойствах по толщине соединения. В связи с этим актуальна разработка методики определения напряженно-деформированного состояния (НДС) двухстороннего адгезионного соединения.



Рисунок 1 – Двухстороннее адгезионное соединение

Рассмотрим конструкцию соединения деталей постоянной жесткости по длине при произвольном осевом нагружении общего вида (рис. 2). Неизвестными (искомыми) величинами в данной задаче являются осевые напряжения в деталях σ_{1x} , σ_{2x} и σ_{3x} и касательные напряжения в клеевых слоях τ_{1x} и τ_{2x} (см. рис. 2). Выделим элементарный участок соединения длиной dx и после декомпозиции составим уравнения равновесия деталей единичной ширины [2, 3]:

$$\begin{aligned} \delta_1 \frac{\partial \sigma_{1x}}{\partial x} + \tau_{1x} &= 0; \\ \delta_2 \frac{\partial \sigma_{2x}}{\partial x} + \tau_{2x} - \tau_{1x} &= 0; \\ \delta_3 \frac{\partial \sigma_{3x}}{\partial x} - \tau_{2x} &= 0. \end{aligned} \tag{1}$$

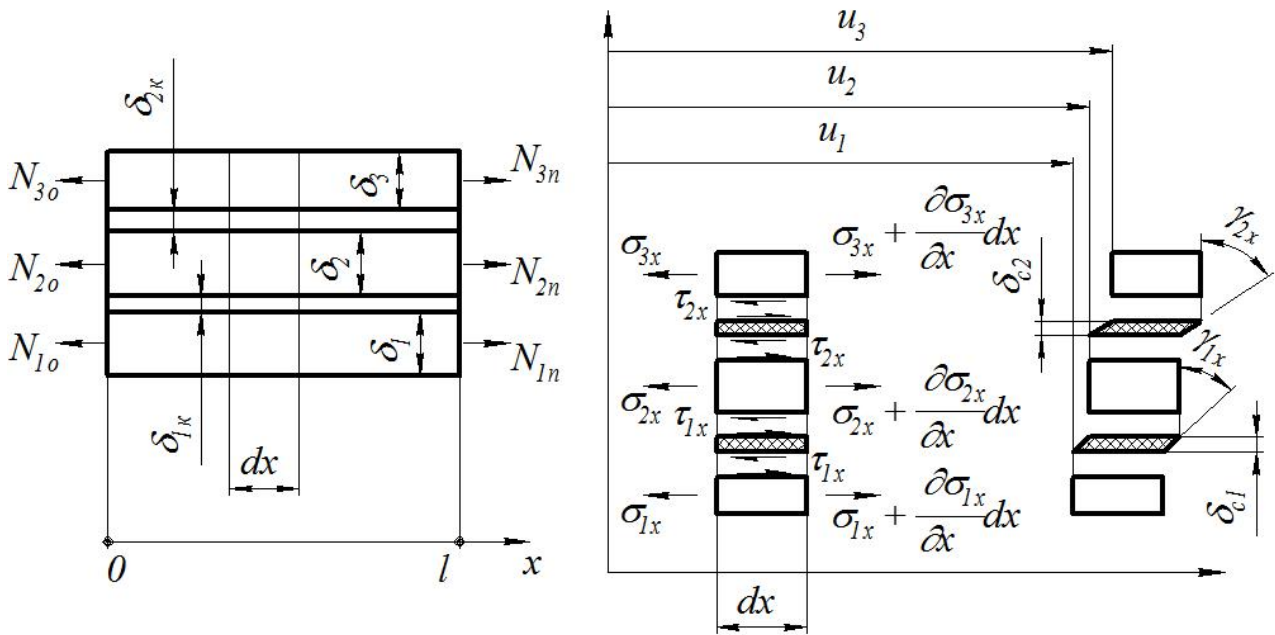


Рисунок 2 – Схема НДС соединения

Эти три уравнения равновесия содержат пять неизвестных, т.е. задача является статически неопределимой. Для формирования полной разрешающей системы уравнений необходимо дополнительно привлечь условия совместности деформаций, которые в соответствии со схемой деформирования (см. рис. 2) записываются в следующем виде:

$$\begin{aligned} \delta_{c1} \operatorname{tg} \gamma_{1x} &= u_2 - u_1 \approx \delta_{c1} \gamma_{1x} = \delta_{c1} \frac{\tau_{1x}}{G_{c1}}; \\ \delta_{c2} \operatorname{tg} \gamma_{2x} &= u_3 - u_2 \approx \delta_{c2} \gamma_{2x} = \delta_{c2} \frac{\tau_{2x}}{G_{c2}}. \end{aligned} \quad (2)$$

В этих зависимостях δ_{c1} и δ_{c2} – толщина соединительных слоев:

- по модели 1 (классическая модель соединительного слоя) [2, 3]:

$$\delta_{c1} = \delta_{1кл}; \quad \delta_{c2} = \delta_{2кл};$$

- по модели 2 (модель Фолькерсена) [2, 3]: (3)

$$\delta_{c1} = \delta_{1кл} + \frac{\delta_1}{2} + \frac{\delta_2}{2}; \quad \delta_{c2} = \delta_{2кл} + \frac{\delta_2}{2} + \frac{\delta_3}{2}.$$

Для этих же двух моделей соединительного слоя [2, 3] приведенные значения моделей сдвига G_{c1} и G_{c2} :

- по модели 1 (классическая модель соединительного слоя) [2, 3]:

$$G_{c1} = G_{1кл}; \quad G_{c2} = G_{2кл};$$

- по модели 2 (модель Фолькерсена) [2, 3]: (4)

$$G_{c1} = \delta_{c1} \left(\frac{\delta_1}{2G_1} + \frac{\delta_2}{2G_2} + \frac{\delta_{1кл}}{G_{1кл}} \right)^{-1}; \quad G_{c2} = \delta_{c2} \left(\frac{\delta_2}{2G_2} + \frac{\delta_3}{2G_3} + \frac{\delta_{2кл}}{G_{2кл}} \right)^{-1},$$

где G_i , $i = 1, 2, 3$ – модули сдвига материала деталей в плоскости xz ;
 $G_{1кл}$, $G_{2кл}$ – модуль сдвига материала клеевых слоев.

Введем обозначения:

$$P_{c1} = \frac{\delta_{c1}}{G_{c1}}; \quad P_{c2} = \frac{\delta_{c2}}{G_{c2}}. \quad (5)$$

Тогда уравнения совместности деформаций (2) примут вид

$$\begin{aligned} u_2 - u_1 &= \tau_{1x} P_{c1}; \\ u_3 - u_2 &= \tau_{2x} P_{c2}. \end{aligned} \quad (6)$$

Продифференцируем эти значения и с учетом соотношений Коши получим

$$\begin{aligned} \varepsilon_{2x} - \varepsilon_{1x} &= P_{c1} \frac{\partial \tau_{1x}}{\partial x}; \\ \varepsilon_{3x} - \varepsilon_{2x} &= P_{c2} \frac{\partial \tau_{2x}}{\partial x}. \end{aligned} \quad (7)$$

Согласно физическому закону с учетом гипотезы Дюамеля – Неймана деформации деталей определяют по формулам

$$\begin{aligned} \varepsilon_{1x} &= \frac{\sigma_{1x}}{E_{1x}} + \alpha_{1x} \Delta T; \\ \varepsilon_{2x} &= \frac{\sigma_{2x}}{E_{2x}} + \alpha_{2x} \Delta T; \\ \varepsilon_{3x} &= \frac{\sigma_{3x}}{E_{3x}} + \alpha_{3x} \Delta T, \end{aligned} \quad (8)$$

где E_{ix} , α_{ix} , $i = 1, 2, 3$ – модули упругости и коэффициенты линейного температурного расширения деталей по оси x .

После подстановки этих выражений в зависимости (7) получим два дополнительных уравнения:

$$\begin{aligned} P_{c1} \frac{\partial \tau_{1x}}{\partial x} &= \frac{\sigma_{2x}}{E_{2x}} - \frac{\sigma_{1x}}{E_{1x}} + \Delta T (\alpha_{2x} - \alpha_{1x}); \\ P_{c2} \frac{\partial \tau_{2x}}{\partial x} &= \frac{\sigma_{3x}}{E_{3x}} - \frac{\sigma_{2x}}{E_{2x}} + \Delta T (\alpha_{3x} - \alpha_{2x}). \end{aligned} \quad (9)$$

Уравнения (1) и (9) составляют полную систему для определения неизвестных функций σ_{1x} , σ_{2x} и σ_{3x} , τ_{1x} и τ_{2x} .

В уравнения равновесия (1) входят производные от осевых напряжений, поэтому, чтобы исключить некоторые неизвестные, продифференцируем (9) по x :

$$\begin{aligned} \Pi_{c1} \frac{\partial^2 \tau_{1x}}{\partial x^2} &= \frac{1}{E_{2x}} \frac{\partial \sigma_{2x}}{\partial x} - \frac{1}{E_{1x}} \frac{\partial \sigma_{1x}}{\partial x}; \\ \Pi_{c2} \frac{\partial^2 \tau_{2x}}{\partial x^2} &= \frac{1}{E_{3x}} \frac{\partial \sigma_{3x}}{\partial x} - \frac{1}{E_{2x}} \frac{\partial \sigma_{2x}}{\partial x}. \end{aligned} \quad (10)$$

Введем обозначения для податливости деталей:

$$\Pi_{1x} = \frac{1}{\delta_1 E_{1x}}; \quad \Pi_{2x} = \frac{1}{\delta_2 E_{2x}}; \quad \Pi_{3x} = \frac{1}{\delta_3 E_{3x}}$$

и преобразуем (10) с учетом уравнений равновесия (1):

$$\begin{aligned} \Pi_{c1} \frac{\partial^2 \tau_{1x}}{\partial x^2} - \tau_{1x}(\Pi_{1x} + \Pi_{2x}) + \tau_{2x} \Pi_{2x} &= 0; \\ \Pi_{c2} \frac{\partial^2 \tau_{2x}}{\partial x^2} - \tau_{2x}(\Pi_{2x} + \Pi_{3x}) + \tau_{1x} \Pi_{2x} &= 0. \end{aligned} \quad (11)$$

Постоянные интегрирования этих дифференциальных уравнений определяют из граничных условий:

а) $x = 0$

$$\sigma_{1x} = \frac{N_{10}}{\delta_1}; \quad \sigma_{2x} = \frac{N_{20}}{\delta_2}; \quad \sigma_{3x} = \frac{N_{30}}{\delta_3};$$

б) $x = l$

$$\sigma_{1x} = \frac{N_{1n}}{\delta_1}; \quad \sigma_{2x} = \frac{N_{2n}}{\delta_2}; \quad \sigma_{3x} = \frac{N_{3n}}{\delta_3}.$$

Переформулируем систему уравнений (11):

$$\begin{aligned} \frac{\partial^2 \tau_{1x}}{\partial x^2} - a_1 \tau_{1x} + b_1 \tau_{2x} &= 0; \\ \frac{\partial^2 \tau_{2x}}{\partial x^2} - a_2 \tau_{2x} + b_2 \tau_{1x} &= 0, \end{aligned} \quad (12)$$

где

$$\begin{aligned} a_1 &= \frac{\Pi_{1x} + \Pi_{2x}}{\Pi_{c1}}; & a_2 &= \frac{\Pi_{2x} + \Pi_{3x}}{\Pi_{c2}}; \\ b_1 &= \frac{\Pi_{2x}}{\Pi_{c1}}; & b_2 &= \frac{\Pi_{2x}}{\Pi_{c2}}. \end{aligned} \quad (13)$$

Выразим из первого уравнения (12) τ_{2x} и подставим полученный результат во второе уравнение (12). В конечном итоге получим однородное дифференциальное уравнение 4-го порядка:

$$\frac{\partial^4 \tau_{1x}}{\partial x^4} - (a_1 + a_2) \frac{\partial^2 \tau_{1x}}{\partial x^2} - (b_1 b_2 - a_1 a_2) \tau_{1x} = 0. \quad (14)$$

Характеристическое уравнение имеет четыре решения:

$$\begin{aligned}\lambda_{1,3} &= \pm \sqrt{\frac{1}{2} \left[(a_1 + a_2) + \sqrt{(a_1 + a_2)^2 + 4(b_1 b_2 - a_1 a_2)} \right]}; \\ \lambda_{2,4} &= \pm \sqrt{\frac{1}{2} \left[(a_1 + a_2) - \sqrt{(a_1 + a_2)^2 + 4(b_1 b_2 - a_1 a_2)} \right]}.\end{aligned}\quad (15)$$

Анализ подкоренных выражений в формулах (15) показывает, что величины λ являются вещественными числами. Тогда решение дифференциального уравнения (14) можно представить в таком виде:

$$\tau_{1x} = c_1 ch \lambda_1 x + c_2 ch \lambda_2 x + c_3 ch \lambda_1 (x - \ell) + c_4 ch \lambda_2 (x - \ell). \quad (16)$$

Решение для τ_{2x} можно получить из первого уравнения (12):

$$\begin{aligned}\tau_{2x} &= \frac{a_1 - \lambda_1^2}{b_1} [c_1 ch \lambda_1 x + c_3 ch \lambda_1 (x - \ell)] + \\ &+ \frac{a_1 - \lambda_2^2}{b_1} [c_2 ch \lambda_2 x + c_4 ch \lambda_2 (x - \ell)].\end{aligned}\quad (17)$$

Для определения постоянных интегрирования подставим (16) и (17) в уравнения (9):

$$\begin{aligned}\Pi c_1 [\lambda_1 \xi_1(x) + \lambda_2 \xi_2(x)] &= \frac{\sigma_{2x}}{E_{2x}} - \frac{\sigma_{1x}}{E_{1x}} + \Delta T (\alpha_{2x} - \alpha_{1x}); \\ \frac{\Pi c_2}{b_1} [\lambda_1 (a_1 - \lambda_1^2) \xi_1(x) + \lambda_2 (a_1 - \lambda_2^2) \xi_2(x)] &= \\ &= \frac{\sigma_{3x}}{E_{3x}} - \frac{\sigma_{2x}}{E_{2x}} + \Delta T (\alpha_{3x} - \alpha_{2x}),\end{aligned}\quad (18)$$

где $\xi_1(x) = c_1 sh \lambda_1 x + c_3 sh \lambda_1 (x - \ell)$;

$$\xi_2(x) = c_2 sh \lambda_2 x + c_4 sh \lambda_2 (x - \ell). \quad (19)$$

В эту систему из двух уравнений входят три неизвестных. Для получения недостающего уравнения рассмотрим равновесие частей соединения в некотором сечении (рис. 3):

$$N_{1x} + N_{2x} + N_{3x} = N_{10} + N_{20} + N_{30} = N_{1n} + N_{2n} + N_{3n}. \quad (20)$$

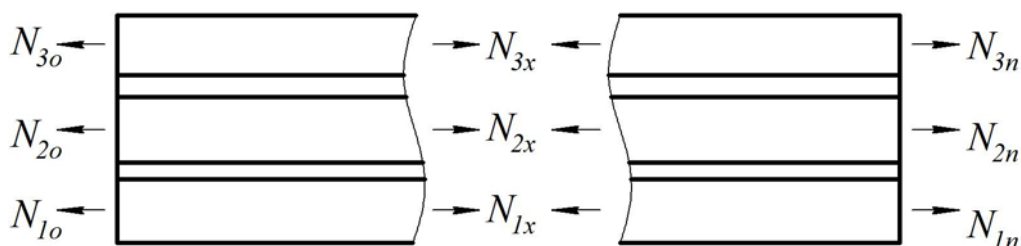


Рисунок 3 – К определению постоянных интегрирования

Формально эти соотношения следуют из дифференциальных уравнений равновесия (1), которые после сложения и интегрирования принимают вид

$$\delta_1\sigma_{1x} + \delta_2\sigma_{2x} + \delta_3\sigma_{3x} = N_{1x} + N_{2x} + N_{3x} = c,$$

т.е. если выполняются уравнения равновесия соединения в целом

$$N_{10} + N_{20} + N_{30} = N_{1n} + N_{2n} + N_{3n},$$

то

$$c = N_{10} + N_{20} + N_{30} = N_{1n} + N_{2n} + N_{3n}. \quad (21)$$

В результате неизвестные σ_{1x} , σ_{2x} и σ_{3x} (или N_{1x} , N_{2x} и N_{3x}) определяются системой уравнений (18) и (20). Решив ее, найдем

$$\begin{aligned} N_{1x} \frac{\Pi_{1x}}{\Pi_{\Sigma}} &= C_L - \Delta T \frac{\alpha_{1x}}{\Pi_{\Sigma}} - \frac{\lambda_1 \xi_1(x)}{\Pi_{3x}} \left(\Pi_{1c} \frac{a_2}{b_2} + \Pi_{2c} \frac{a_1 - \lambda_1^2}{b_1} \right) - \\ &\quad - \frac{\lambda_2 \xi_2(x)}{\Pi_{3x}} \left(\Pi_{1c} \frac{a_2}{b_2} + \Pi_{2c} \frac{a_1 - \lambda_2^2}{b_1} \right); \\ N_{2x} \frac{\Pi_{2x}}{\Pi_{\Sigma}} &= C_L - \Delta T \frac{\alpha_{2x}}{\Pi_{\Sigma}} + \lambda_1 \xi_1(x) \left(\frac{\Pi_{1c}}{\Pi_{1x}} - \frac{\Pi_{2c}}{\Pi_{3x}} \frac{a_1 - \lambda_1^2}{b_1} \right) + \\ &\quad + \lambda_2 \xi_2(x) \left(\frac{\Pi_{1c}}{\Pi_{1x}} - \frac{\Pi_{2c}}{\Pi_{3x}} \frac{a_1 - \lambda_2^2}{b_1} \right); \\ N_{3x} \frac{\Pi_{3x}}{\Pi_{\Sigma}} &= C_L - \Delta T \frac{\alpha_{3x}}{\Pi_{\Sigma}} + \frac{\lambda_1 \xi_1(x)}{\Pi_{1x}} \left(\Pi_{1c} + \Pi_{2c} \frac{a_1 a_1 - \lambda_1^2}{b_1 b_1} \right) + \\ &\quad + \frac{\lambda_2 \xi_2(x)}{\Pi_{1x}} \left(\Pi_{1c} + \Pi_{2c} \frac{a_1 a_1 - \lambda_2^2}{b_1 b_1} \right), \end{aligned} \quad (22)$$

где $\Pi_{\Sigma} = \frac{1}{\delta_1 E_{1x} + \delta_2 E_{2x} + \delta_3 E_{3x}} = \left(\frac{1}{\Pi_{1x}} + \frac{1}{\Pi_{2x}} + \frac{1}{\Pi_{3x}} \right)^{-1};$

$$C_L = N_{10} + N_{20} + N_{30} + \Delta T \left(\frac{\alpha_{1x}}{\Pi_{1x}} + \frac{\alpha_{2x}}{\Pi_{2x}} + \frac{\alpha_{3x}}{\Pi_{3x}} \right). \quad (23)$$

Для вычисления констант C_1 , C_2 , C_3 и C_4 , определяющих искомые неизвестные τ_{1x} , τ_{2x} согласно (16), (17) и N_{1x} , N_{2x} , N_{3x} согласно (22), (19), достаточно составить четыре уравнения. Например,

при $x = 0$ $N_{1x} = N_{10}$, $N_{2x} = N_{20}$;

при $x = \ell$ $N_{1x} = N_{1n}$, $N_{2x} = N_{2n}$.

Тогда из (22) следует две системы уравнений относительно констант C_1, C_2, C_3 и C_4 :

$$\left. \begin{aligned} D_{10} &= c_3 A_{11} \lambda_1 \operatorname{sh} \lambda_1 \ell + c_4 A_{12} \lambda_2 \operatorname{sh} \lambda_2 \ell; \\ D_{20} &= -c_3 A_{21} \lambda_1 \operatorname{sh} \lambda_1 \ell - c_4 A_{22} \lambda_2 \operatorname{sh} \lambda_2 \ell; \end{aligned} \right\} \quad (24)$$

$$\left. \begin{aligned} D_{1n} &= -c_1 A_{11} \lambda_1 \operatorname{sh} \lambda_1 \ell - c_2 A_{12} \lambda_2 \operatorname{sh} \lambda_2 \ell; \\ D_{2n} &= c_1 A_{21} \lambda_1 \operatorname{sh} \lambda_1 \ell + c_2 A_{22} \lambda_2 \operatorname{sh} \lambda_2 \ell, \end{aligned} \right\} \quad (25)$$

где

$$\begin{aligned} D_{10} &= \frac{N_{10} \Pi_{1x} + \alpha_{1x} \Delta T}{\Pi_{\Sigma}} - C_L; & D_{20} &= \frac{N_{20} \Pi_{2x} + \alpha_{2x} \Delta T}{\Pi_{\Sigma}} - C_L; \\ D_{1n} &= \frac{N_{1n} \Pi_{1x} + \alpha_{1x} \Delta T}{\Pi_{\Sigma}} - C_L; & D_{2n} &= \frac{N_{2n} \Pi_{2x} + \alpha_{2x} \Delta T}{\Pi_{\Sigma}} - C_L; \\ A_{11} &= \frac{1}{\Pi_{3x}} \left(\Pi_{1c} \frac{a_2}{b_2} + \Pi_{2c} \frac{a_1 - \lambda_1^2}{b_1} \right); & A_{21} &= \frac{\Pi_{1c}}{\Pi_{1x}} - \frac{\Pi_{2c}}{\Pi_{3x}} \frac{a_1 - \lambda_1^2}{b_1}; \\ A_{12} &= \frac{1}{\Pi_{3x}} \left(\Pi_{1c} \frac{a_2}{b_2} + \Pi_{2c} \frac{a_1 - \lambda_2^2}{b_1} \right); & A_{22} &= \frac{\Pi_{1c}}{\Pi_{1x}} - \frac{\Pi_{2c}}{\Pi_{3x}} \frac{a_1 - \lambda_2^2}{b_1}. \end{aligned} \quad (26)$$

Решением (24) и (25) являются:

$$\begin{aligned} C_1 &= \frac{1}{\lambda_1 \operatorname{sh} \lambda_1 \ell} \frac{D_{1n} A_{22} + D_{2n} A_{12}}{A_{11} A_{22} - A_{12} A_{21}}; \\ C_2 &= \frac{1}{\lambda_2 \operatorname{sh} \lambda_2 \ell} \frac{D_{1n} A_{21} + D_{2n} A_{11}}{A_{11} A_{22} - A_{12} A_{21}}; \\ C_3 &= \frac{1}{\lambda_1 \operatorname{sh} \lambda_1 \ell} \frac{D_{10} A_{22} + D_{20} A_{12}}{A_{11} A_{22} - A_{12} A_{21}}; \\ C_4 &= \frac{1}{\lambda_2 \operatorname{sh} \lambda_2 \ell} \frac{D_{10} A_{21} + D_{20} A_{11}}{A_{11} A_{22} - A_{12} A_{21}}. \end{aligned} \quad (27)$$

Соотношения (16), (17), (22) и (27) служат для расчета касательных напряжений τ_{1x}, τ_{2x} в клеевых слоях рассматриваемого соединения и нормальных (осевых) усилий N_{1x}, N_{2x}, N_{3x} в соединяемых деталях.

Для примера рассмотрим два варианта конструкции соединения, идентичных по массе и передаваемой нагрузке: двухстороннее и одно-стороннее соединения (см. рис. 4).

При известных исходных расчетных параметрах:

$$\delta_1 = 2 \text{ мм}; \delta_2 = 2 \text{ мм}; \delta_3 = 1 \text{ мм}; \delta_{кл} = 0,1 \text{ мм}; \ell = 60 \text{ мм};$$

$$E_{1x} = E_{3x} = 25 \text{ ГПа}; E_{2x} = 70 \text{ ГПа}; G_{кл} = 5 \text{ ГПа};$$

$$N = 100 \text{ Н/мм}; \Delta T = 0 -$$

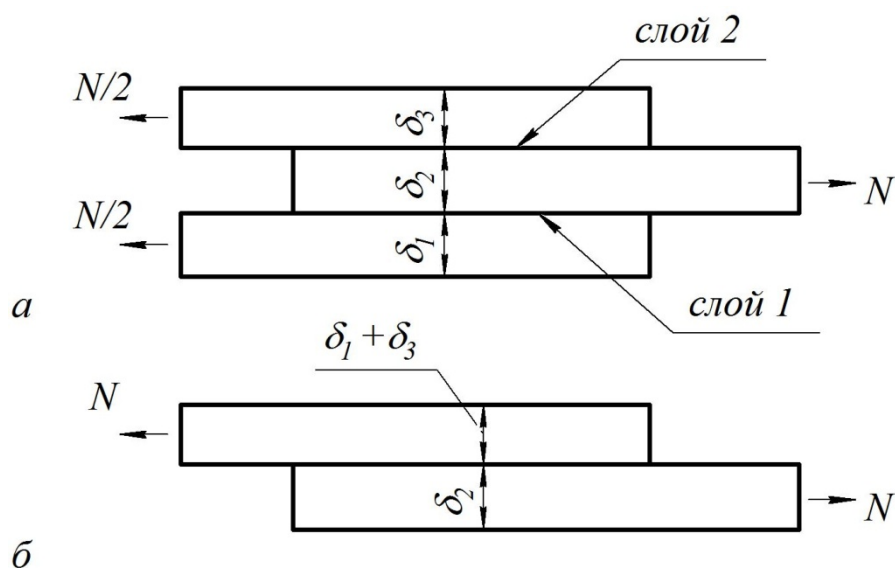


Рисунок 4 – Два варианта конструкции соединения

получим следующие значения касательных напряжений в клее (согласно классической модели):

– для двухстороннего соединения (рис. 4, а):

$$\text{в слое 1} \quad \tau_{1x}|_{x=0} = 36 \text{ МПа}; \quad \tau_{1x}|_{x=l} = 28,5 \text{ МПа};$$

$$\text{в слое 2} \quad \tau_{2x}|_{x=0} = -62,2 \text{ МПа}; \quad \tau_{1x}|_{x=l} = -20,9 \text{ МПа};$$

– для одностороннего соединения (рис. 4, б):

$$\tau_x|_{x=0} = 65,9 \text{ МПа}; \quad \tau_x|_{x=l} = 35,3 \text{ МПа}.$$

Видно, что применение двухстороннего соединения позволяет немного снизить максимальные напряжения в клеевой прослойке.

Список использованных источников

1. Кутьинов, В.Ф. Расчет клеевых соединений [Текст] / В.Ф. Кутьинов // Тр. ЦАГИ. Проектирование, расчет и испытания конструкций из композиционных материалов. – 1979. – Вып. 7. – С. 14 – 30.

2. Карпов, Я.С. Соединения деталей агрегатов из композиционных материалов [Текст] / Я.С. Карпов. – Х.: Нац. аэрокосм. ун-т «Харьк. авиац. ин-т», 2006. – 359 с.

3. Карпов, Я.С. Проектирование деталей и агрегатов из композитов: учебник [Текст] / Я.С. Карпов. – Х.: Нац. аэрокосм. ун-т «Харьк. авиац. ин-т», 2010. – 768 с.

Поступила в редакцию 28.05.2014.

Рецензент: д-р техн. наук, проф. В.Е. Гайдачук, Национальный аэрокосмический университет им. Н.Е. Жуковского «ХАИ», г. Харьков.